

LANCE

Laboratorio Nacional
de Clima Espacial



Reporte Semanal de Clima Espacial

<https://www.sciesmex.unam.mx/blog/category/reporte-semanal-de-clima-espacial/>



**Ciencia y
Tecnología**
Secretaría de Ciencia, Humanidades,
Tecnología e Innovación



CENAPRED
CENTRO NACIONAL DE
PREVENCIÓN DE DESASTRES



ISES
International Space
Environment Service

Reporte semanal: del 12 al 18 de septiembre de 2025

CONDICIONES DEL SOL

Regiones Activas (RA): 9, siete en el limbo oeste y dos pequeñas en el meridiano central.

Eyecciones de Masa Coronal: 58 (4 tipo halo).

Hoyos coronales: 4, 1 de gran tamaño que se extiende desde el polo norte hasta latitud baja y 4 pequeños.

Fulguraciones solares: se detectaron 2 fulguraciones clase M (M4 y M8), y una tipo X1.

CONDICIONES DEL MEDIO INTERPLANETARIO

Se registró el flanco de una Eyección de Masa Coronal.

La Red de Espectrómetros Callisto detectó 28 estallidos de radio Tipo III y 3 tipo II.

CONDICIONES DE MAGNETÓSFERA

Se registró actividad geomagnética moderada.

CONDICIONES DE LA IONOSFERA

No se detectaron variaciones durante la semana.

CONDICIONES DE RAYOS CÓSMICOS SOBRE MÉXICO

Se detectó un decremento Forbush generado por una región de interacción, seguido de el flanco de una Eyección de Masa Coronal.

PRONÓSTICOS

Viento solar:

- Se pronostica para los próximos días viento solar con velocidad entre 500 y 700 km/s. No se prevé EMC durante este periodo.

Fulguraciones solares:

- Debido a la presencia de regiones activas en el disco solar existe la posibilidad de que se presenten fulguraciones en los próximos días.

Tormentas ionosféricas:

- Hay baja probabilidad de perturbaciones ionosféricas.

Tormentas geomagnéticas:

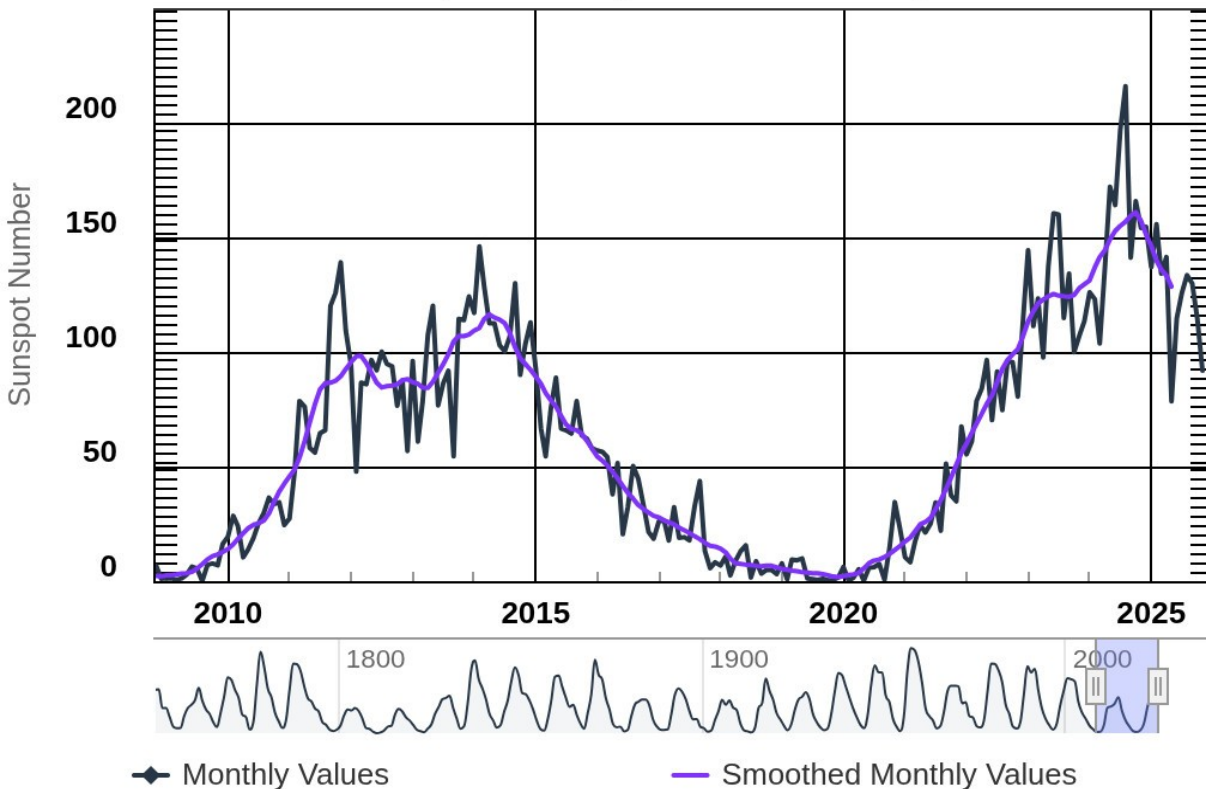
- Hay baja probabilidad de actividad geomagnética.

Tormentas de radiación de partículas:

- Hay baja probabilidad de tormentas de radiación. No se esperan eventos significativos.

Ciclo de manchas solares y la actividad solar

Solar Cycle Sunspot Number Progression

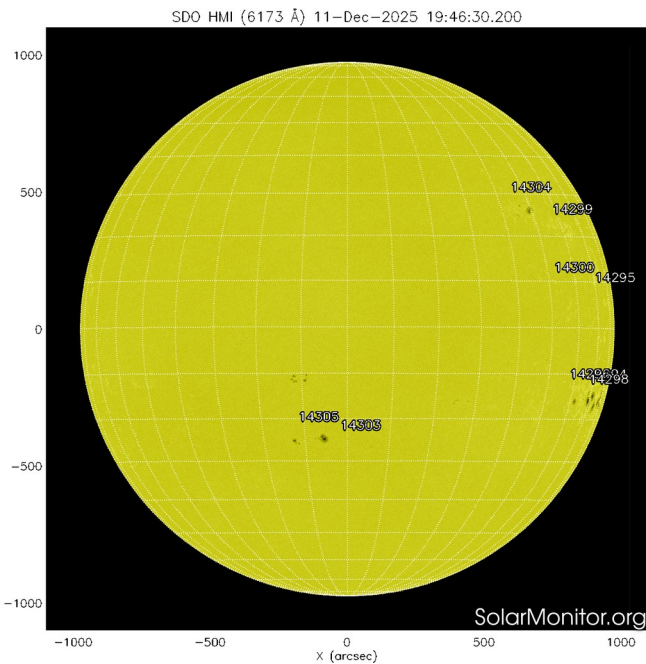


La figura muestra el conteo del número de manchas solares desde enero de 2009 a la fecha.

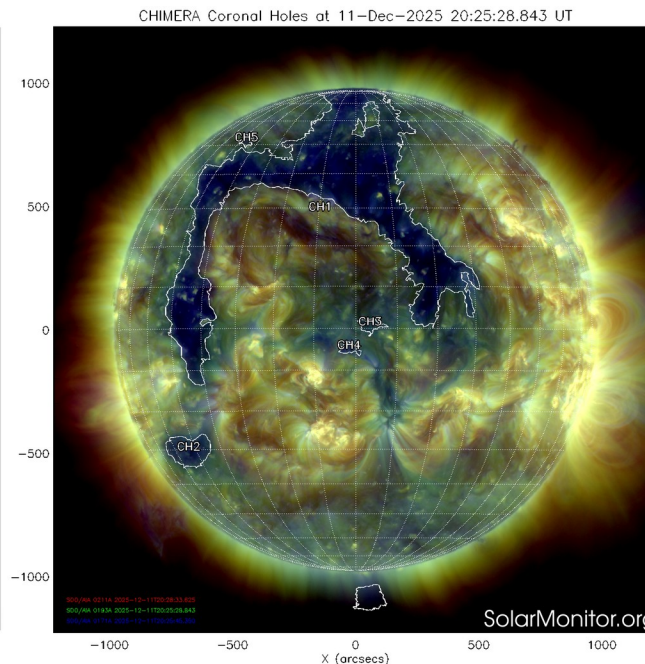
Entre más manchas solares presente el Sol, es mayor la posibilidad de que ocurra una tormenta solar.

Ya pasamos la fase ascendente y máximo del ciclo solar 25 (años: 2020-2024) y ahora estamos en la fase descendente.

<http://www.swpc.noaa.gov/products/solar-cycle-progression>



<https://solarmonitor.org/>



<https://solarmonitor.org/>

La imagen del día de hoy, 11 de diciembre de 2025, muestra 9 regiones activas, siete en el limbo oeste y dos pequeñas en el meridiano central (ver imagen de la izquierda).

Además, se observan un hoyo coronal que se extiende desde el polo norte hasta latitud baja y 4 de tamaño pequeño (ver imagen de la derecha).

El Sol, visto en distintas longitudes de onda, muestra diferentes capas solares.

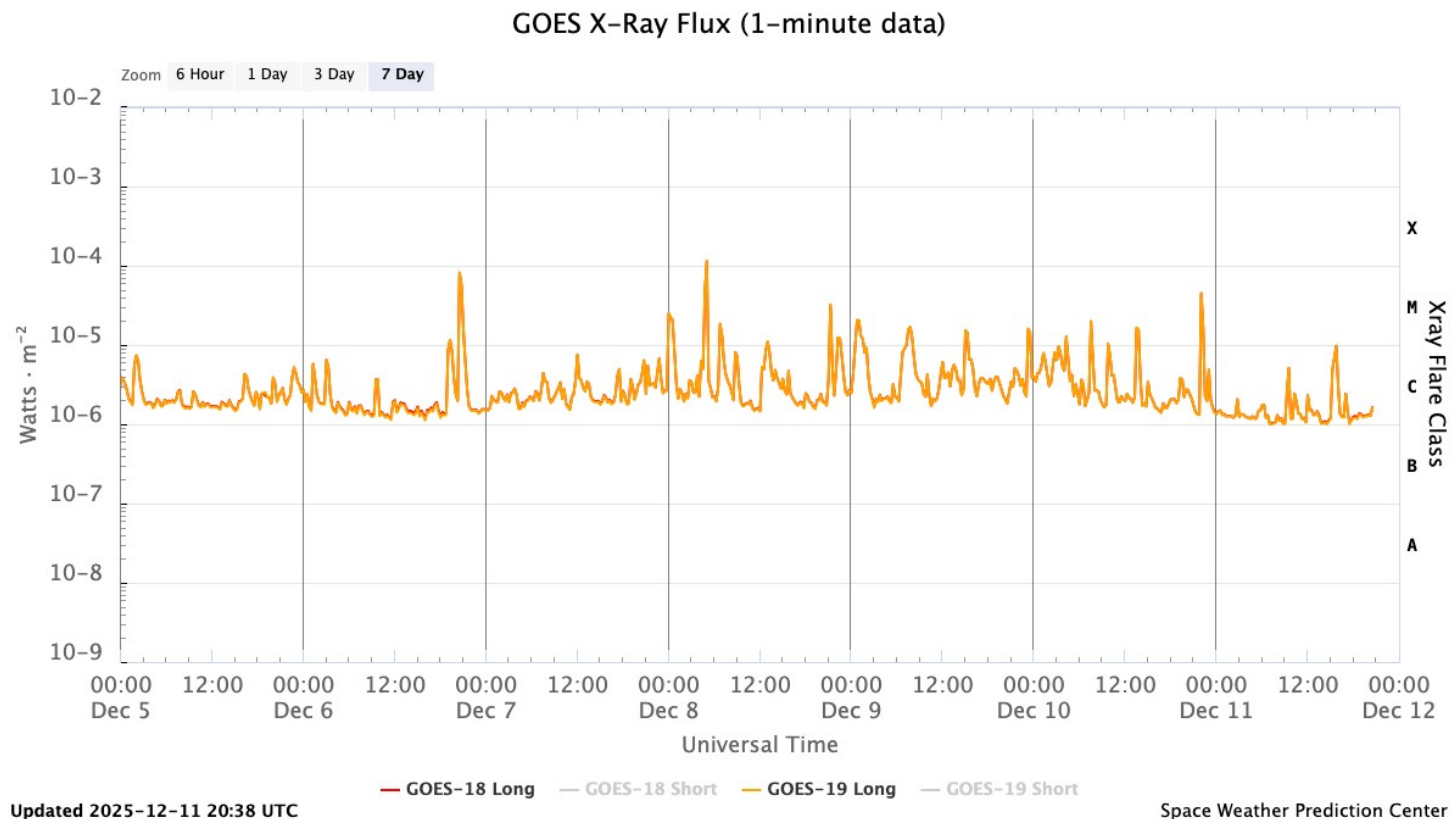
A la izquierda: La superficie solar (fotosfera) vista en luz visible. En esta zona se aprecian las manchas solares (zonas oscuras) asociadas con las regiones activas, las cuales concentran intensos campos magnéticos y son la principal fuente de la actividad solar.

A la derecha: Imagen del disco solar en una composición de tres longitudes de onda de 171, 193 y 211 Angstroms. La imagen facilita la identificación de hoyos coronales (regiones oscuras) que son fuente de campo magnético solar localmente abierto y también son el origen de las corrientes de viento solar rápido.

Actividad solar: Fulguraciones solares

Flujo de rayos X solares detectado por el satélite GOES 19 de la NOAA.

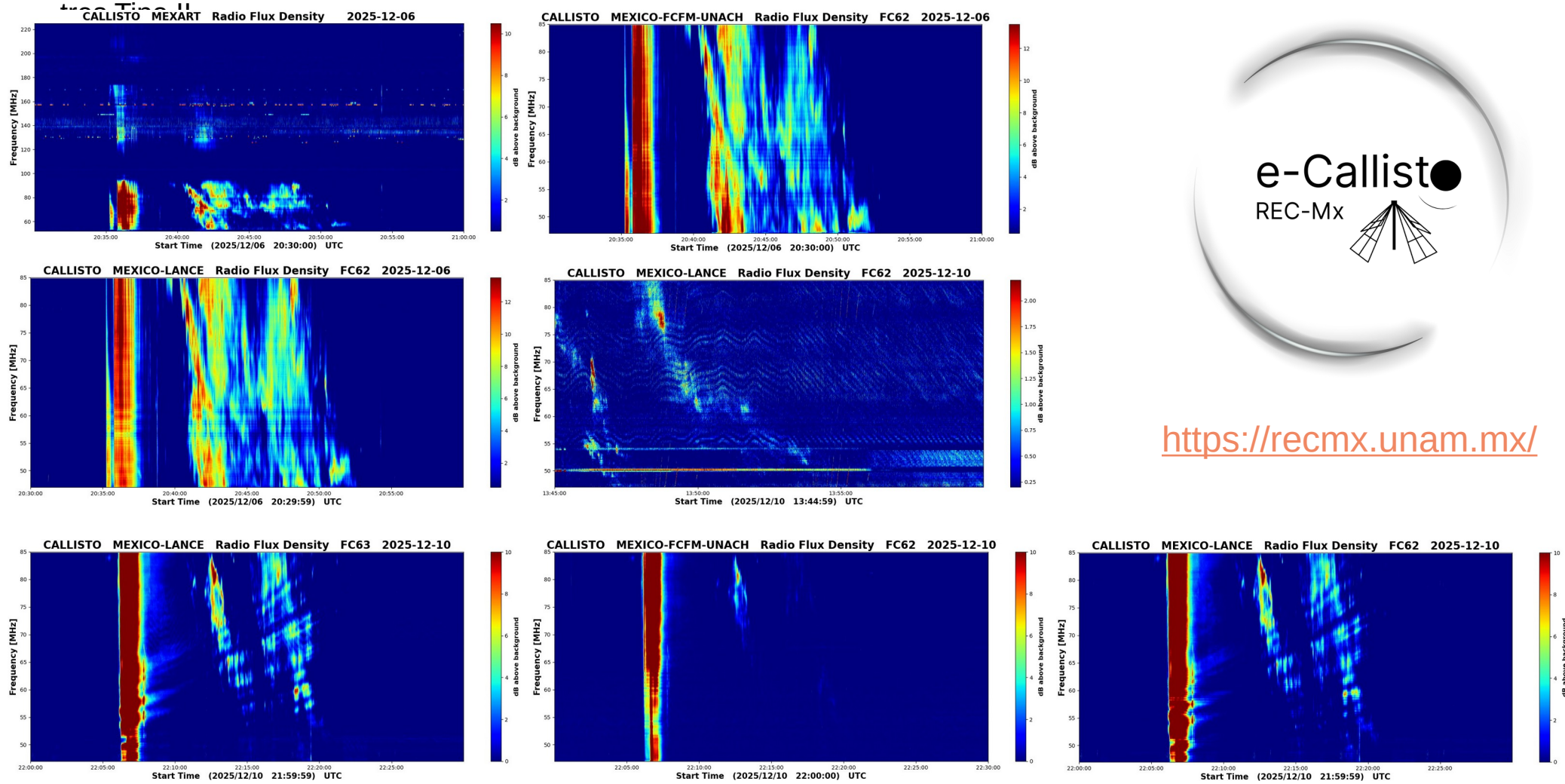
Durante la semana se registró una fulguración M8 (6 dic), X1 (8 dic), y M4 (10 dic).



<https://www.swpc.noaa.gov/products/goes-x-ray-flux>

Estallidos de radio solares: Observaciones de la REC-Mx

En esta semana la Red de Espectrómetros Callisto de México (REC-Mx) detectó 28 estallidos de radio Tipo III y



<https://recmx.unam.mx/>

Actividad solar: Eyecciones de Masa Coronal

Se registraron 58 EMCs.
4 tipo halo (ancho $> 90^\circ$).

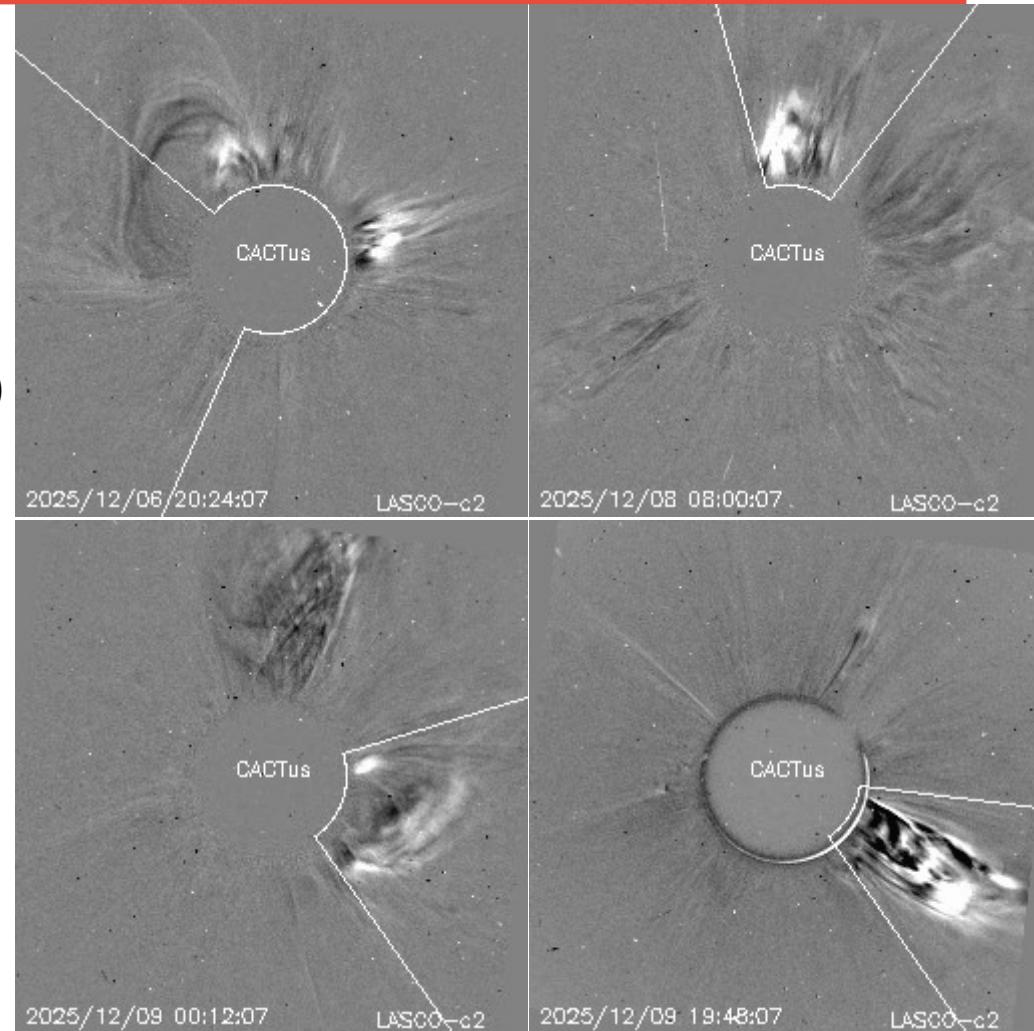
Mediciones de salida de EMC de mayor
dimensión o velocidad de esta semana:

Fecha, tiempo inicial, velocidad promedio (km/s)

2025/12/06	19:36	411
2025/12/08	07:24	407
2025/12/08	23:00	309
2025/12/09	18:24	568

-Eyecciones observadas por SOHO/LASCO con
cálculos del sitio CACTUS.

Crédito de imágenes y valores estimados:
SOHO, the SOLAR & Heliospheric Observatory
<https://wwwbis.sidc.be/cactus/>



Medio interplanetario

Centelleo interplanetario

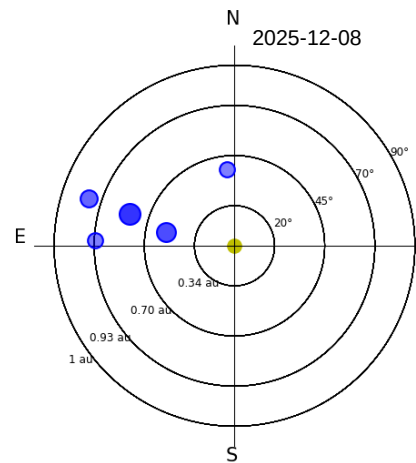
Magnitud de velocidades de viento solar registradas por MEXART.

Se muestra con círculos azules la posición aparente de fuentes de centelleo vistas desde la Tierra, su dimensión representa la rapidez del viento solar. Al centro el Sol (círculo amarillo). Los círculos concéntricos marcan la elongación o distancia heliocéntrica en grados o unidades astronómicas.

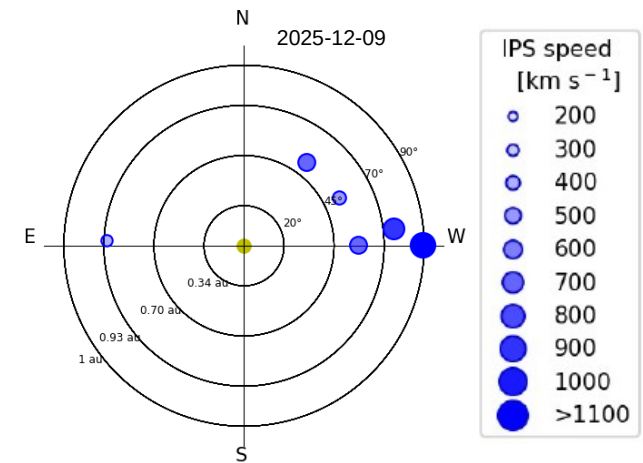
Mapas correspondientes a los últimos días en que se registraron observaciones. Velocidades en su mayoría van de 300 a 800 km/s.

Los velocidad calculada hasta ahora es experimental.

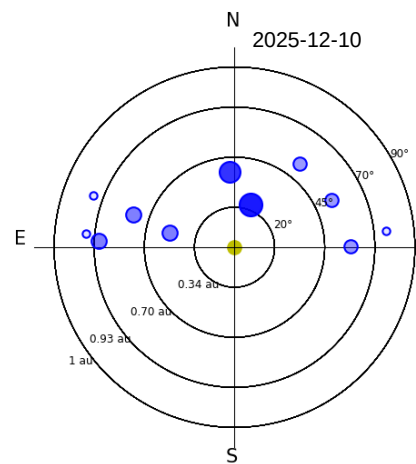
MEXART - Apparent position of Sources in t



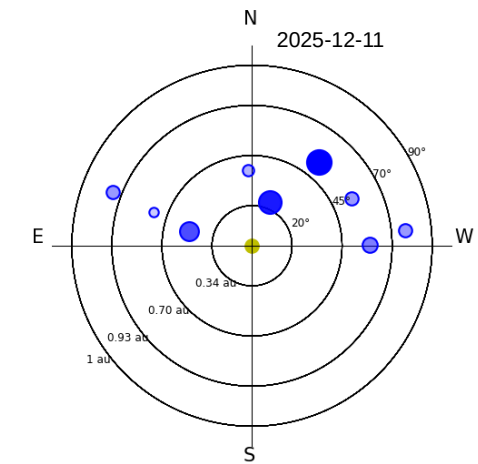
MEXART - Apparent position of Sources in the sky



MEXART - Apparent position of Sources in t



MEXART - Apparent position of Sources in the sky



Medio interplanetario: El viento solar cercano a la Tierra

Modelo numérico WSA-ENLIL.

Del 12 al 15 de diciembre de 2025, el modelo pronostica un viento solar entre 500 a 700 km/s. No se prevé EMC durante este periodo.

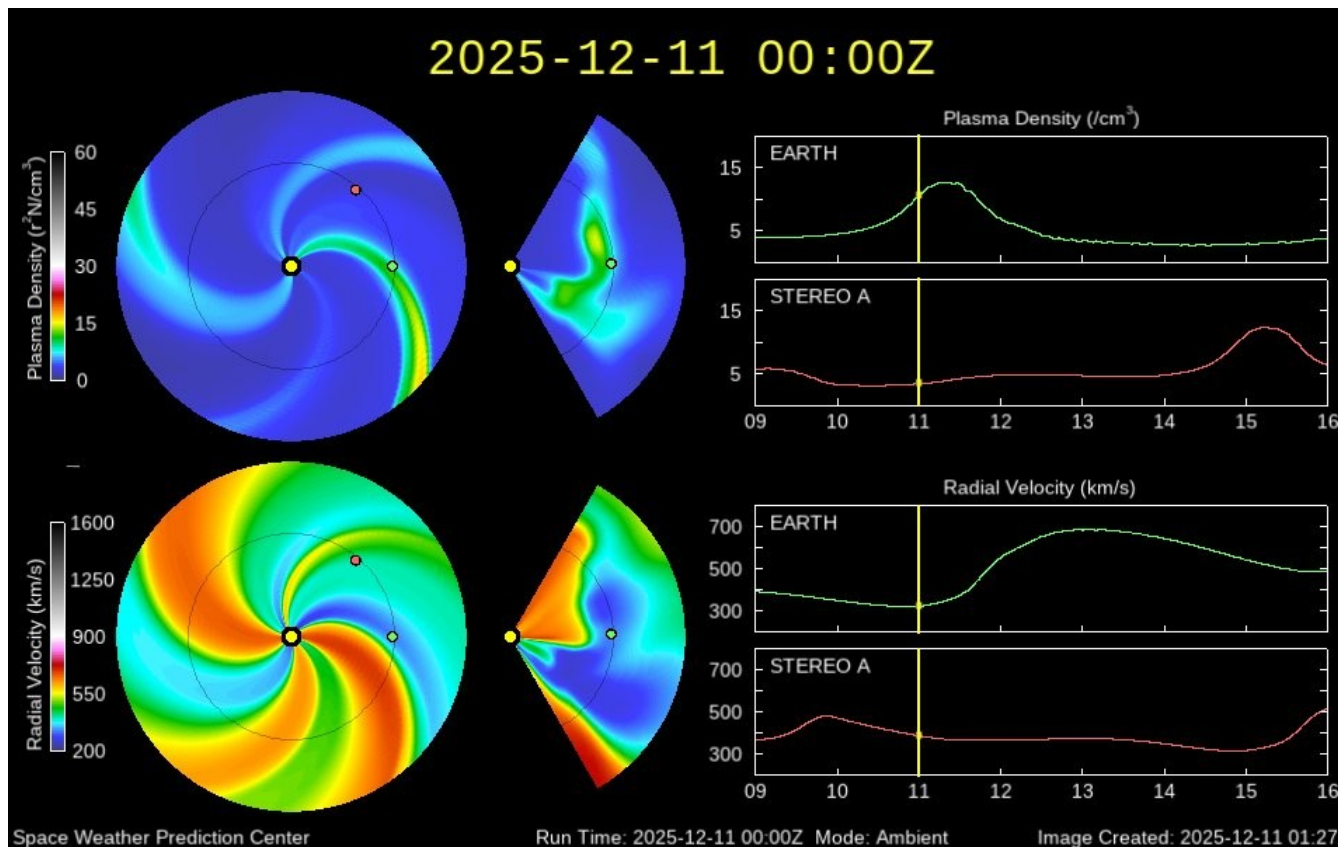


Imagen: <http://www.swpc.noaa.gov/products/wsa-enlil-solar-wind-prediction>

Medio interplanetario: Región de interacción de viento solar

Esta semana se registró el flanco de una eyección de masa coronal (EMC) (ver región sombreada en amarillo en imagen 2). La EMC se generó en la región activa 4299 (ver RA 4299 en imagen 1). Dicha estructura generó actividad geomagnética moderada a nivel local y global.

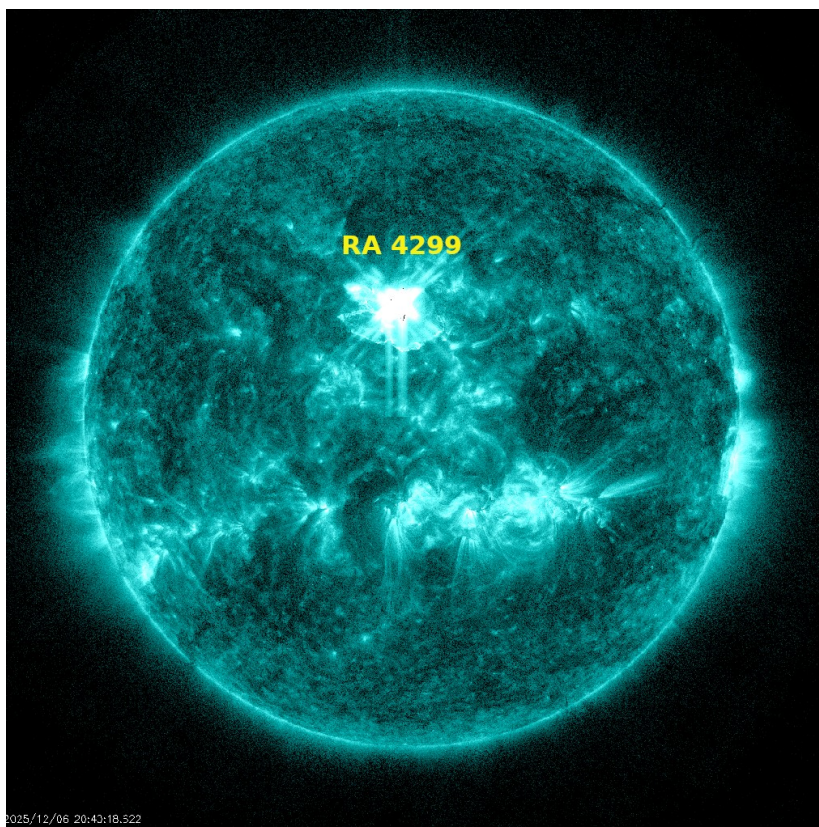


Imagen 1: <https://sdo.nasa.gov/>

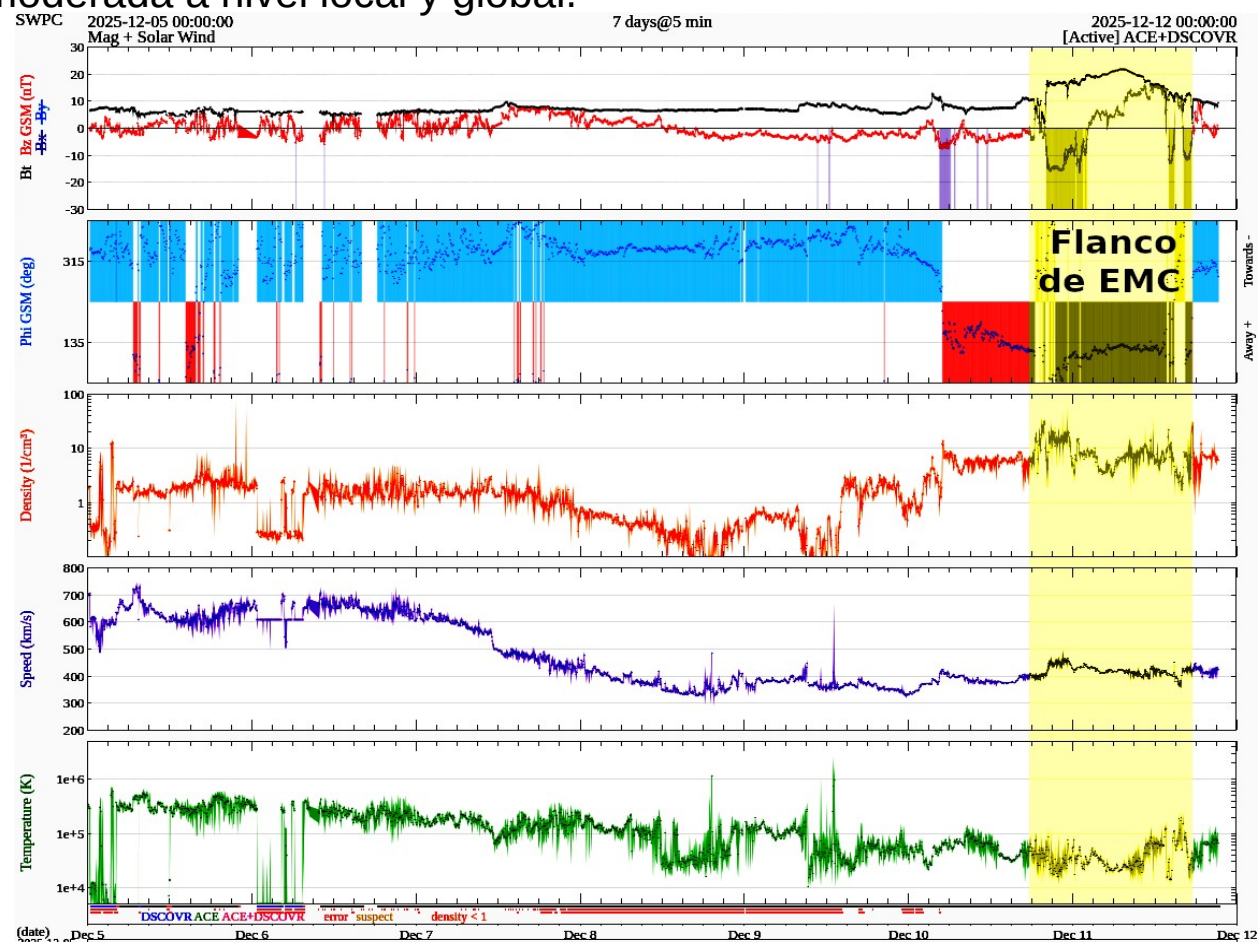


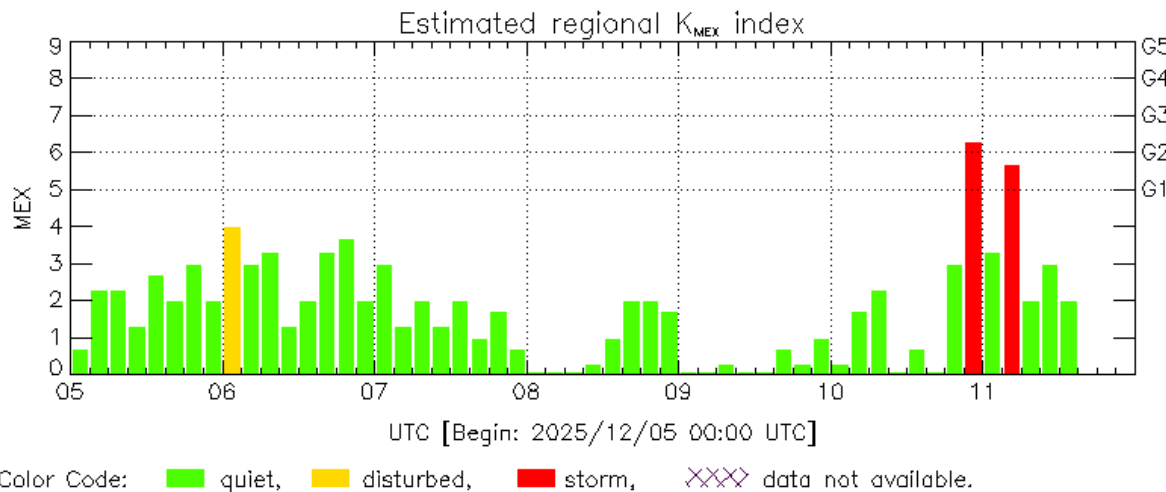
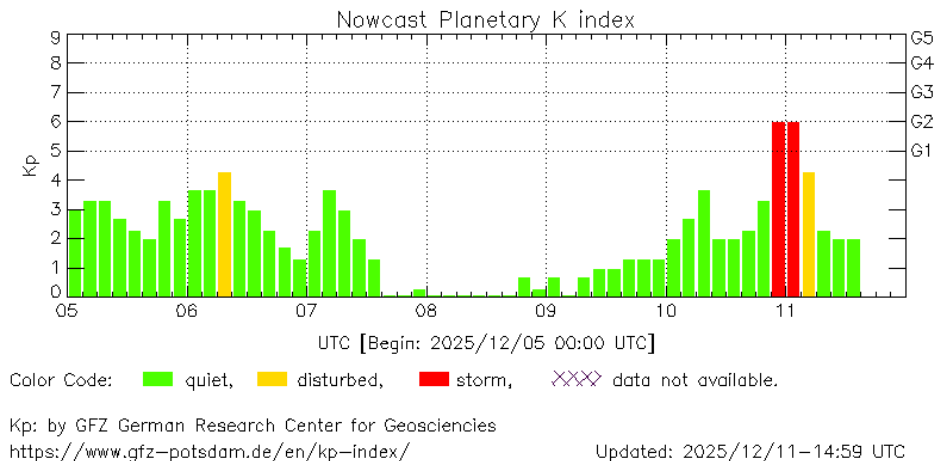
Imagen 2: <https://www.swpc.noaa.gov/products/real-time-solar-wind>

Actividad geomagnética regional y planetaria: índices Kmex y Kp

Se registró una tormenta geomagnética G2 (K=6) en los índices Kp y Kmex el 10 y 11 de diciembre. La actividad geomagnética fue provocada por corrientes de viento solar con componente magnética Bz sur intermitente que llegaron al ambiente terrestre desde el 10 el diciembre.

NOTA: El cálculo del índice Kmex se realizó usando datos del observatorio magnético en Teoloyucan, EdoMex y de la estación magnética Coeneo, Mich. Los datos son experimentales y no se deben de tomar como definitivos.

Datos: www.gfz-potsdam.de/en/kp-index/



MEX: Regional early values of K index for Mexico by REGMEX/LANCE (<http://regmex.unam.mx>)

Updated: 2025/12/11-14:59 UTC

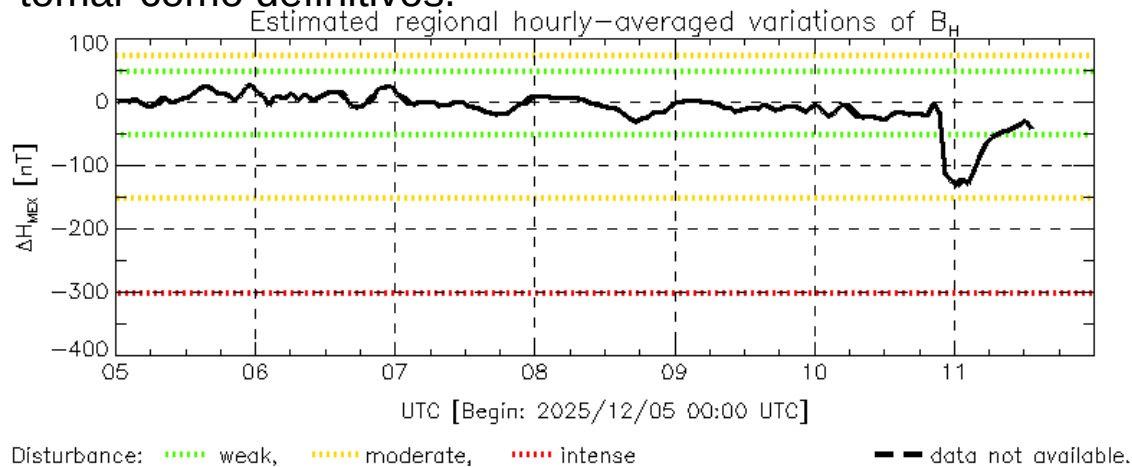
El índice K indica la intensidad de las variaciones del campo magnético terrestre en intervalos de 3 horas.

El índice Kp lo expresa a escala planetaria, mientras que el Kmex lo hace para el territorio mexicano.

Actividad geomagnética regional y planetaria: índices ΔH y Dst

Se registró actividad geomagnética débil en los índices ΔH y Dst el 10 y 11 de diciembre. La actividad geomagnética fue provocada por corrientes de viento solar con componente magnética B_z sur intermitente que llegaron al ambiente terrestre el 10 el diciembre.

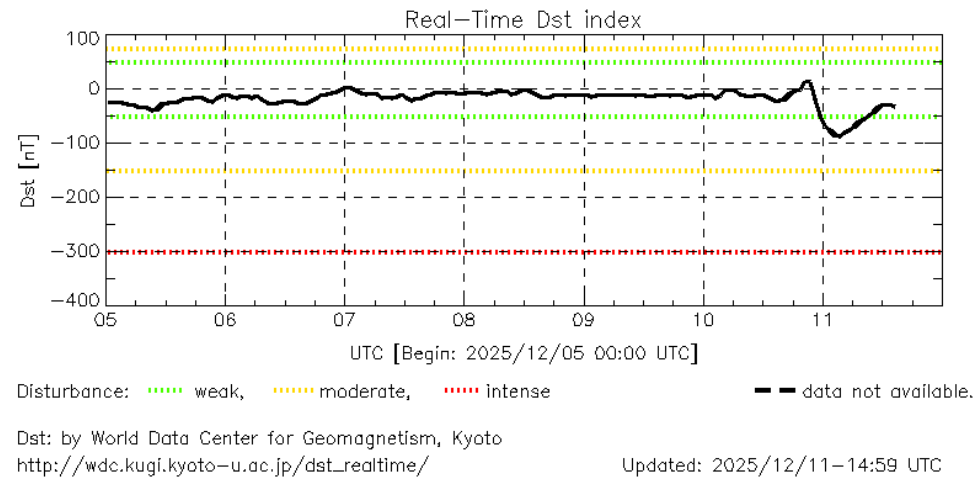
NOTA: El cálculo del índice ΔH se realizó usando datos del observatorio magnético en Teoloyucan, EdoMex y de la estación magnética Coeneo, Mich. Los datos son experimentales y no se deben de tomar como definitivos.



MEX: Regional early values of ΔH index for Mexico by REGMEX/LANCE (<http://regmex.unam.mx>)

Updated: 2025/12/11-14:59 UTC

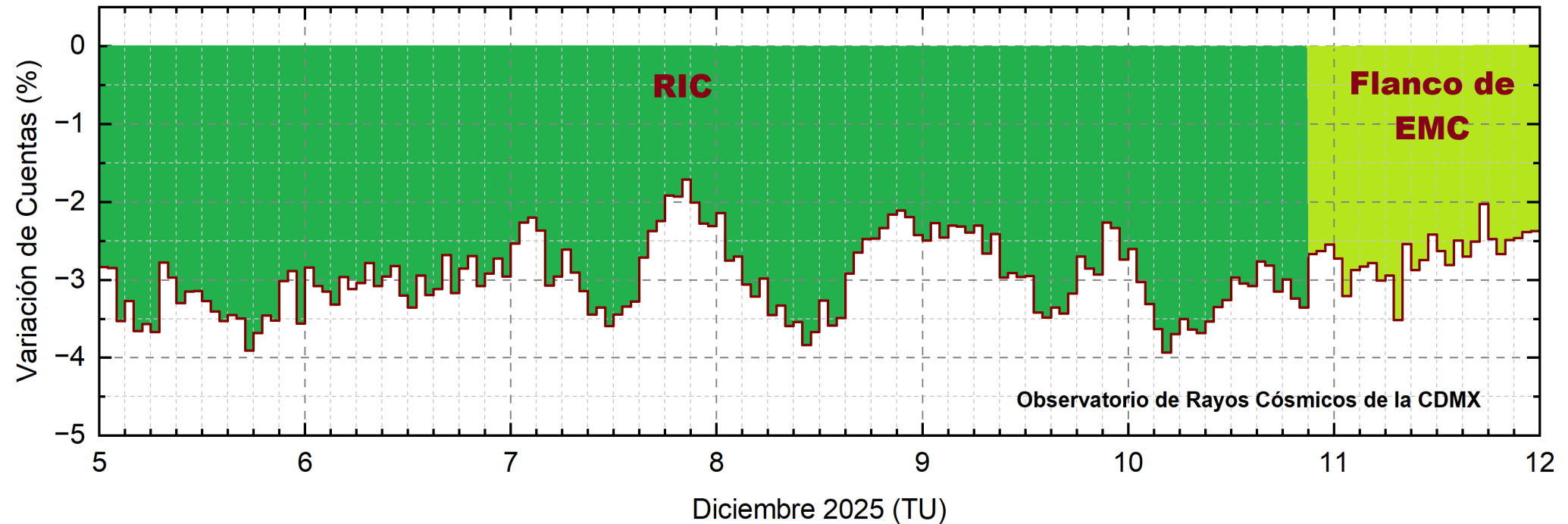
Datos: wdc.kugi.kyoto-u.ac.jp/dst_realtime/



Los índices Dst y ΔH miden las variaciones temporales de la componente horizontal del campo geomagnético, el primero a escala planetaria y el segundo para México.

Estas variaciones, en general, se deben al ingreso de partículas cargadas, provenientes del espacio exterior, al ambiente espacial terrestre.

Rayos Cósmicos:



<http://www.cosmicrays.unam.mx/>

Datos registrados por el Observatorio de Rayos Cósmicos de la Ciudad de México. El medio interplanetario ya se encontraba perturbado y se detectaba la etapa de recuperación de un decrecimiento Forbush (dF) que inició el 3 de diciembre y alcanzó una caída máxima de 3.9%. El 10 a las 21 hrs TU impactó un Flanco de EMC, provocando que el dF se extendiera. A las 00 hrs TU del 12 de diciembre aún se detecta la etapa de afectación en el flujo de rayos cósmicos.



UNAM/LANCE/SCIeSMEX

Dr. J. Américo González Esparza

Dr. Pedro Corona Romero

Dra. María Sergeeva

Dr. Julio C. Mejía Ambriz

Dr. Luis Xavier González Méndez

Ing. Ernesto Andrade Mascote

M.C. Pablo Villanueva Hernández

Dr. Víctor José Gatica Acevedo

Dra. Elsa Sánchez García

Dr. Carlos Arturo Pérez Alanís

Dr. Raúl Gutiérrez Zalapa

Dra. Verónica Ontiveros

Dra. Tania Oyuki Chang Martínez

Dr. Ernesto Aguilar Rodríguez

UAS/FCFM

Dra. Ángela Melgarejo Morales

INAOE

M.C. Elvia Patricia Barrón Cano

UNAM ENES-Morelia

Dr. Mario Rodríguez Martínez

Dr. José Juan González Avilés

Mateo Peralta Mondragón

Jaquelin Mejía Orozco

UNAM/PCT

M.C. Isaac Castellanos Velasco

Lic. Isaac David Orrala Legorreta

UANL/LANCE

Dr. Eduardo Pérez Tijerina

Dra. Esmeralda Romero Hernández

Dr. José Enrique Pérez León

Ing. Iván Antonio Peralta Mendoza

Fís. Rogelio Aguirre Gutiérrez

M.C. Adolfo Garza Salazar

UNAM/IGF/RAYOS CÓSMICOS

Dr. Luis Xavier González Méndez

Dr. José Francisco Valdés Galicia

Dr. Oscar Gustavo Morales Olivares

Fis. Alejandro Hurtado Pizano

SERVICIO MAGNÉTICO

Dr. Esteban Hernández Quintero[†]

Dr. Gerardo Cifuentes Nava

Dra. Ana Caccavari Garza

Elaboración: Dra. Elsa Sánchez García

Agradecimientos

El Laboratorio Nacional de Clima Espacial (LANCE) es parcialmente financiado por: el programa Cátedras CONACYT Proyecto 1045 y el Fondo Sectorial AEM-CONACYT proyecto 2014-01-247722. Agradecemos al proyecto Conacyt – Repositorio Institucional de Clima Espacial 268273. Agradecemos a todos los responsables y colaboradores de instrumentos del LANCE y a las redes de estaciones GPS del Servicio Sismológico Nacional y TlalocNET por facilitar sus datos. Agradecemos a Gerardo Cifuentes, Esteban Hernández y Ana Caccavari por los datos del Observatorio Magnético de Teoloyucan. De igual forma, agradecemos los servicios de IGS (International GNSS Service) por permitirnos usar los datos IONEX disponibles en: <https://cddis.nasa.gov/archive/gnss/products/ionex>. Los valores de TEC fueron obtenidos a partir de observaciones de las redes GPS del Servicio Sismológico Nacional (SSN), SSN-TLALOCNet y TLALOCNet del Servicio de Geodesia Satelital (SGS). Agradecemos al personal del SSN y del SGS por el mantenimiento de estaciones, la adquisición de datos y el soporte de IT de estas redes. Las operaciones de la red TLALOCNet y SSN-TLALOCNet GPS han sido apoyadas por The National Science Foundation bajo el proyecto EAR-1338091 a UNAVCO Inc., los proyectos CONACyT 253760 y 256012 y los proyectos UNAM-PAPIIT IN109315-3 y IN104818-3 de E. Cabral-Cano y el proyecto UNAM-PAPIIT IN111509 de R. Pérez. De igual forma, agradecemos a los proyectos de infraestructura del CONACyT: 253691 y del PAPIIT-DGAPA: IA107116 para el fortalecimiento de equipos como la estación fija de GPS, que forman parte del LACIGE-UNAM, de la ENES unidad Morelia a cargo de M. Rodríguez-Martínez, El cálculo de TEC se realiza: 1) utilizando el software US-TEC que es un producto de operación del Space Weather Prediction Center (SWPC), desarrollado a través de una colaboración entre National Geodetic Survey, National Oceanic and Atmospheric Administration (NOAA) y el Cooperative Institute for Research in Environmental Sciences of the University of Boulder, Colorado, 2) con base en el software TayAbsTEC del Instituto de Física Solar-Terrestre, sección Siberiana de la Academia de Ciencias Rusa. Parte del procesamiento de datos se lleva a cabo dentro del centro de Supercómputo de Clima Espacial (CESCOM) del LANCE. Así mismo agradecemos al Space Weather Forecasting Center for Astrophysics & Space Research de la University of California in San Diego y al Korean Space Weather Center por los datos de pronóstico para los modelos WSA-ENLIL y los mapas tomográficos por IPS. Agradecemos a la red e-callisto por los datos proporcionados de espectros electromagnéticos dinámicos de la red internacional de registro de eventos de radio solares.

Datos

Imágenes de coronógrafo, flujo de rayos X y modelo WSA-ENLIL:

<http://www.swpc.noaa.gov/products>

<http://iswa.ccmc.gsfc.nasa.gov/IswaSystemWebApp/>

Imágenes de coronógrafo:

<http://sohowww.nascom.nasa.gov/data/>

Imágenes del disco solar y de la fulguración:

<http://www.solarmonitor.org/>

Detección y caracterización de EMCs:

<http://www.sidc.oma.be/cactus/out/latestCMEs.html>

<http://spaceweather.gmu.edu/seeds/>

ISES:

<http://www.spaceweather.org/>

International Network of Solar Radio Spectrometers (e-callisto):

<http://www.e-callisto.org/>

German Research Center For Geosciences Postdam:

<http://www.gfz-potsdam.de/en/sektion/erdmagnetfeld/daten-dienst/e/kp-index/>

Data Analysis Center for Geomagnetism and Space Magnetism, Kyoto University:

<http://wdc.kugi.kyoto-u.ac.jp/index.html>

UNAVCO:

<http://www.unavco.org>

SSN:

<http://www.sismologico.unam.mx/>

SOHO Spacecraft NASA:

<http://sohowww.nascom.nasa.gov/>

SDO Spacecraft NASA:

<http://sdo.gsfc.nasa.gov/>

Space Weather Prediction Center NOAA:

<http://www.swpc.noaa.gov>

GOES Spacecraft NOAA:

<http://www.ngdc.noaa.gov/stp/satellite/goes/index.html>

ACE Spacecraft NOAA

<http://www.srl.caltech.edu/ACE/ASC/index.html>